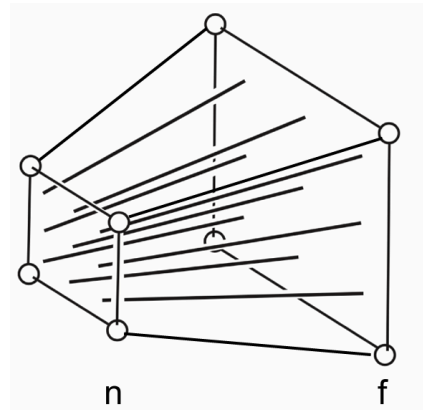


Games101

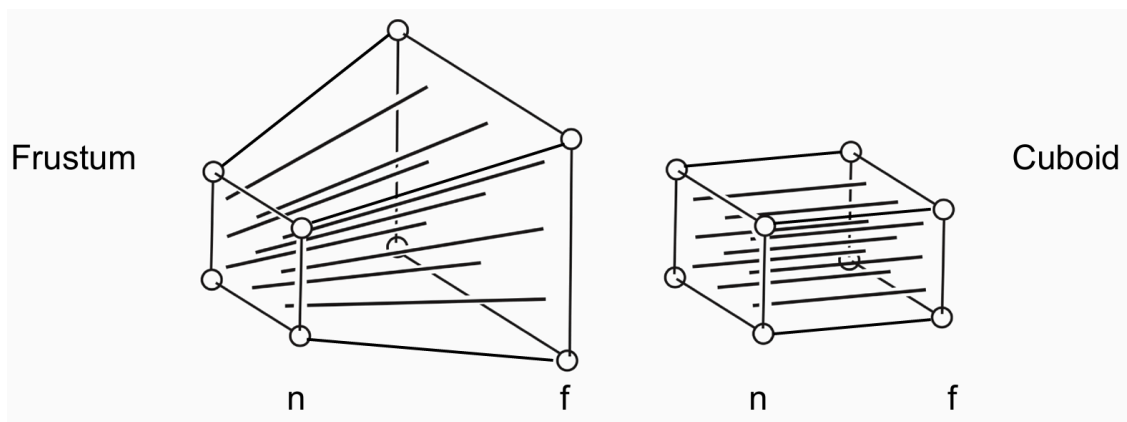
Chapter 4

如图所示，目的是将 f 面 投影至 n 面



- 这里将投影的过程分解为两个步骤

1. 将 frustum “挤压” 为一个 “cuboid”



2. 然后再将 f 面经正交投影，投影至 n 面

这里只讨论第一个步骤

挤压

在挤压的过程中，以下 3 个结论是显然的，或者说是我们挤压的一种前置要求

n 面所有点坐标都不会变

f 面所有点的 z 坐标都不会变

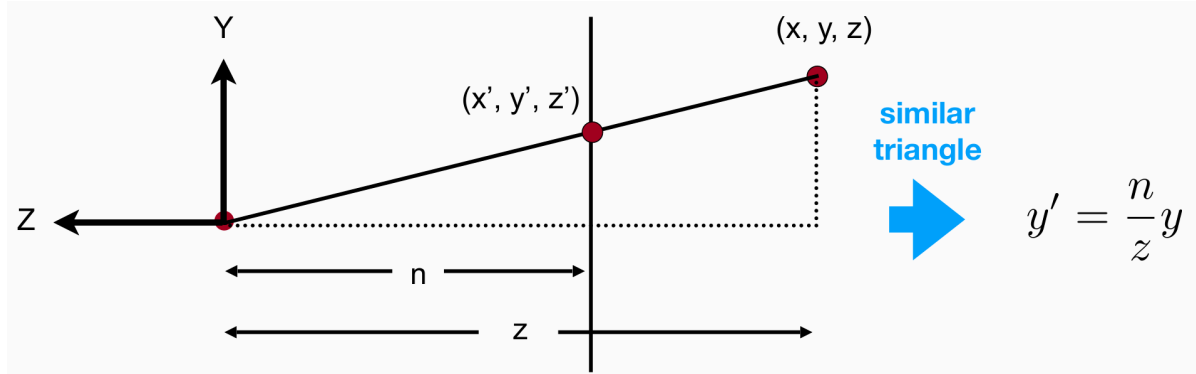
f 面中心点的坐标不会变

m 面([f, n] 之间的面)任意点的

设 (x_m, y_m, z_m) 是 m 面上一点, 挤压后为 (x'_m, y'_m, z'_m)

挤压后的 m 面与 n 面的尺寸是完全相等的, 因此任意点的 (x'_m, y'_m) 与 n 面的对应点的 (x_n, y_n) 是相等的, 所以这里不妨通过计算 n 面的 (x_n, y_n) , 间接的计算 m 面的 (x'_m, y'_m)

如图所示,



由相似三角形可得

$$x'_m = x_n = \frac{n}{z_m} x_m$$

$$y'_m = y_n = \frac{n}{z_m} y_m$$

而 z'_m 目前无法求得, 可暂时保持未知

综上所述条件可得(这里将变换后的向量扩大了 z_m 倍, 后面还会提到这件事)

$$M_{persp \rightarrow ortho}^{4 \times 4} \begin{pmatrix} x_m \\ y_m \\ z_m \\ 1 \end{pmatrix} = \begin{pmatrix} x'_m \\ y'_m \\ z'_m \\ 1 \end{pmatrix} = \begin{pmatrix} \frac{n}{z_m} x_m \\ \frac{n}{z_m} y_m \\ ? \\ 1 \end{pmatrix} = \begin{pmatrix} nx_m \\ ny_m \\ ? \\ z_m \end{pmatrix}$$

"挤压"变换矩阵的形式如下

$$M_{persp \rightarrow ortho}^{4 \times 4} = \begin{pmatrix} a_{11} & a_{12} & a_{13} & a_{14} \\ a_{21} & a_{22} & a_{23} & a_{24} \\ a_{31} & a_{32} & a_{33} & a_{34} \\ a_{41} & a_{42} & a_{43} & a_{44} \end{pmatrix}$$

则

$$(1) \quad a_{11}x_m + a_{12}y_m + a_{13}z_m + a_{14} = nx_m$$

$$(2) \quad a_{21}x_m + a_{22}y_m + a_{23}z_m + a_{24} = ny_m$$

(3)?

$$(4) \quad a_{41}x_m + a_{42}y_m + a_{43}z_m + a_{44} = z_m$$

由

$$(1) \Rightarrow nx_m \text{ 只与 } x_m \text{ 相关且无常数项, } \therefore a_{12} = a_{13} = a_{14} = 0, a_{11} = n$$

$$(2) \Rightarrow ny_m \text{ 只与 } y_m \text{ 相关且无常数项, } \therefore a_{21} = a_{23} = a_{24} = 0, a_{22} = n$$

$$(4) \Rightarrow z_m \text{ 只与 } z_m \text{ 相关且无常数项, } \therefore a_{41} = a_{42} = a_{44} = 0, a_{43} = 1$$

$$\therefore M_{persp \rightarrow ortho}^{4 \times 4} = \begin{pmatrix} n & 0 & 0 & 0 \\ 0 & n & 0 & 0 \\ a_{31} & a_{32} & a_{33} & a_{34} \\ 0 & 0 & 1 & 0 \end{pmatrix}$$

n 面任意点

设 (x_n, y_n, z_n) 是 n 面上一点, 挤压后为 (x'_n, y'_n, z'_n)

显然

$$x'_n = x_n$$

$$y'_n = y_n$$

$$z'_n = z_n = n$$

下面变换后的点的齐次坐标扩大了 n 倍, 本质也是扩大了 z_m 倍, 因为此时 $z_m = n$

则

$$M_{persp \rightarrow ortho}^{4 \times 4} \begin{pmatrix} x_n \\ y_n \\ n \\ 1 \end{pmatrix} = \begin{pmatrix} x'_n \\ y'_n \\ z'_n \\ 1 \end{pmatrix} = \begin{pmatrix} x_n \\ y_n \\ n \\ 1 \end{pmatrix} = \begin{pmatrix} nx_n \\ ny_n \\ n^2 \\ n \end{pmatrix}$$

$$\therefore a_{31}x_n + a_{32}y_n + a_{33}n + a_{34} = n^2$$

$$\therefore a_{31} = a_{32} = 0 \quad \text{且} \quad a_{33}n + a_{34} = n^2$$

f 面中心点

设 $(0, 0, z_f)$ 是 f 面中心点, 挤压后为 $(0, 0, z'_f)$

显然 $z'_f = z_f = f$

下面变换后的点的齐次坐标扩大了 f 倍, 本质也是扩大了 z_m 倍, 因为此时 $z_m = f$

则

$$M_{persp \rightarrow ortho}^{4 \times 4} \begin{pmatrix} 0 \\ 0 \\ f \\ 1 \end{pmatrix} = \begin{pmatrix} 0 \\ 0 \\ z'_f \\ 1 \end{pmatrix} = \begin{pmatrix} 0 \\ 0 \\ f \\ 1 \end{pmatrix} = \begin{pmatrix} 0 \\ 0 \\ f^2 \\ f \end{pmatrix}$$

$$\therefore a_{33}f + a_{34} = f^2$$

由

$$a_{33}n + a_{34} = n^2$$

$$a_{33}f + a_{34} = f^2$$

可计算得

$$a_{33} = n + f$$

$$a_{34} = -nf$$

综上所述

$$M_{persp \rightarrow ortho}^{4 \times 4} = \begin{pmatrix} n & 0 & 0 & 0 \\ 0 & n & 0 & 0 \\ 0 & 0 & n + f & -nf \\ 0 & 0 & 1 & 0 \end{pmatrix}$$

最后

假设模型上任一点的坐标为 $(x, y, z, 1)^T$, 该点经过 $M_{persp \rightarrow ortho}^{4 \times 4}$ 变换的结果为 $(nx, ny, (n + f) \cdot z - nf \cdot z, z)^T$, 显然这是一个 **enlarged** 的齐次坐标, 再进行正交投影变换后, 其依然是非标准形式的齐次坐标, 反映在模型上就是模型并不是在 **标准设备坐标系** 下, 我们需要将其标准化, 标准化的结果为 $(nx/z, ny/z, (n + f) - nf, 1)^T$

进一步探讨, 假设变换后(未标准化前)的坐标为 $(x', y', z', z)^T$, 标准化后为 $(x'/z, y'/z, z'/z, 1)^T$, 显然 **z** 值越大, **标准化** 时被缩小的程度就越高, 换句话说, 某个点离视点越远, 看起来就越小, 透视效果越强, 所以说 (x', y', z', w) 中, **w** 分量可以表征点的透视程度

Chapter 9 - homework 3

gl_NormalMatrix 存在于许多顶点着色器中, 本节将介绍这个矩阵是什么以及它的用途, 本节的灵感来自 Eric Lengyel 所著的优秀书籍《3D 游戏编程和计算机图形数学》

许多计算都是在观察空间进行的, 这与照明通常在观察空间)中进行这一事实有关, 否则与观察位置相关的效果(如镜面反射光)将更难实现.

因此, 我们需要一种将法线转换到观察空间的方法, 将顶点转换到观察空间的方法如下:

$$vertexEyeSpace = gl_ModelViewMatrix * gl_Vertex$$

那么为什么我们不能对法线向量做同样的处理呢？

首先, 法线是一个包含 3 个浮点的向量, 而 `Modelview` 矩阵是 `4x4`

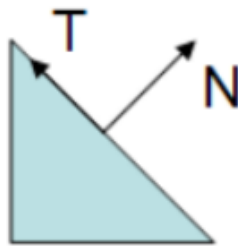
其次, 由于法线是一个矢量, 我们只想变换它的方向, 模型视图变换矩阵中包含方向的区域是左上角的 `3x3` 子矩阵, 那么为什么不将法线乘以这个子矩阵呢？

用下面的代码就可以轻松实现：

```
normalEyeSpace = vec3(gl_ModelViewMatrix * vec4(gl_Normal, 0.0));
```

那么, `gl_NormalMatrix` 只是简单对代码进行了简化或优化吗？不, 并非如此, 上述代码在某些情况下可以工作, 但并非所有情况都可以.

让我们来看看一个潜在的问题：



在上图中, 我们看到一个三角形, 它有一个法向量和一个切向量, 下图显示了当模型视图矩阵包含非均匀比例时发生的情况



注意：如果比例是统一的, 那么法线的方向就会被保留, 而长度则会受到影响, 但这很容易通过归一化来解决.

在上图中, `Modelview` 矩阵应用于所有顶点和法线, 结果显然是错误的：变换后的法线不再垂直于曲面.

我们知道, 矢量可以表示为两点之间的差值, 考虑到切线向量, 它可以计算为三角形边上两个顶点之间的差值, 如果 P_1 和 P_2 是定义三角形边的顶点, 我们可以知道

$$T = P_2 - P_1$$

考虑到矢量可以写成最后一个分量为零的四分量元组, 我们可以将相等的两边与模型视图矩阵相乘

$$T * Modelview = (P_2 - P_1) * Modelview$$

结果是:

$$T * Modelview = P_2 * Modelview - P_1 * Modelview$$

$$T' = P'_2 - P'_1$$

P'_1 和 P'_2 是变换后三角形的顶点, T' 仍然与三角形的边缘相切, 因此, `Modelview` 保留了切线, 但没有保留法线.

考虑到与向量 T 相同的方法, 我们可以找到两个点 Q_1 和 Q_2 , 使得

$$N = Q_2 - Q_1$$

主要问题在于, 如上图所示, 通过变换点定义的向量 $Q'_2 - Q'_1$ 并不一定保持法线, 法向量不像切线向量那样定义为两点之间的差值, 它被定义为垂直于曲面的向量,

因此, 我们现在知道, 不能在所有情况下都使用 `Modelview` 来变换法向量, 那么问题来了, 我们应该应用什么矩阵呢?

考虑一个 `3x3` 矩阵 G , 让我们看看如何计算这个矩阵来正确变换法向量.

我们知道, 在矩阵变换之前, $T \cdot N = 0$, 因为根据定义, 向量是垂直的, 我们还知道, 变换后 $T' \cdot N'$ 必须保持等于零, 因为它们必须保持相互垂直, T 可以安全地与模型视图左上方的 `3x3` 子矩阵相乘 (T 是一个向量, 因此 w 分量为零), 我们称这个子矩阵为 M ,

假设矩阵 G 是转换法向量 T 的正确矩阵, 因此方程如下

$$N' \cdot T' = (G * N) \cdot (M * T) = 0$$

点积可以转化为矢量的积, 因此

$$N' \cdot T' = (G * N)^T * (M * T) = 0$$

请注意, 必须考虑第一个向量的转置, 因为这是将向量(准确来说应该是矩阵)相乘的必要条件, 我们还知道, 乘法的转置是转置的乘法, 因此

$$N' \cdot T' = N^T * G^T * (M * T) = N^T * (G^T * M) * T = 0$$

因为 N 与 T 是正交的, 因此 N 与 T 的点积为零, 因此, 如果

$$(G^T * M) = I$$

则

$$N^T * (G^T * M) * T = N^T * I * T = 0$$

这正是我们想要的, 因此, 我们可以根据 `M` 计算 `G`, 显然需要:

$$G^T = M^{-1}$$

则

$$(G^T)^T = G = (M^{-1})^T$$

因此, 转换法线的正确矩阵是 `M` 矩阵的逆的转置, `OpenGL` 会在 `gl_NormalMatrix` 中为我们计算这个矩阵.

本节开头提到, 在某些情况下使用 `Modelview` 矩阵是可行的, 只要模型视图的 `3x3` 左上方子矩阵是正交的, 因为[正交矩阵的逆 = 正交矩阵的转置](#), 因此我们可以得到:

$$G^T = M^{-1} = M^T$$

则

$$G = M$$

什么是正交矩阵呢? (这里我没有使用原文, 因为正交矩阵的性质很明确, 简单概括一下)

若A 为正交矩阵, 则

- A 的 行向量 与 列向量为单位正交向量组
- $|A| = \pm 1$

那么我们什么时候才能确定 `M` 是正交的呢? 由于我们的几何操作仅限于旋转和平移时, 即在 `OpenGL` 应用程序中只使用 `glRotate` 和 `gl_Translate`, 而不使用 `glScale`, 这些操作可确保 `M` 是正交的.

注: `gluLookAt` 也会创建一个正交矩阵!

- 1 首先, `Translate`变换矩阵矩阵并不是正交矩阵, 这部分我认为原作者是错误的
- 2 而 `Translate`变换 也不是正交变换, 严格而言, 应该属于仿射变换
- 3 但是 `Translate` 变换是否会破坏正交性? 这部分的内容是值得商榷的, 如下
- 4 - 直觉上, 假设向量 `N` 与 `T` 是正交, 那么二者经过同样的平移后, 必然仍保持正交
- 5 - 线性代数层面, 平移变换矩阵矩阵并不是正交矩阵, 假如我们对 `N` 与 `T` 左乘同一个正交矩阵, 将导致变换后的 `N'` 与 `T'` 的内积不再为0, 意味着他俩不再垂直
- 6 - 所以, 问题出在哪里呢? 百思不得其解!

Chapter 13 - homework 5

这里主要总结 Ray Tracing 中 屏幕, NDC 和 投影平面 之间的坐标关系, 假设

- 屏幕的宽度为 `scene.width`, 长度为 `scene.length`, 宽高比为 `imageAspectRatio`
- NDC 中, `xy` 的范围均为 `[-1,1]`, 其 `z` 坐标为 0
- 相机的位置为 `(0, 0, 0)`, 竖向可视角度为 `fov`

NDC 中每个像素的中心坐标

- 屏幕坐标系 的 原点为左下角, 坐标系中点的坐标为

(i, j) , 其中 $i \in [0, scene.width - 1]$, $j \in [0, scene.length - 1]$

- 将 屏幕坐标系 中的点转换到以左下角为原点, $x, y \in [0, 2]$ 范围的坐标系

$$x'_{ndc} = \frac{2 \times i}{scene.width}$$
$$y'_{ndc} = \frac{2 \times j}{scene.height}$$

为了确保计算的是像素中心而不是边缘, 需要调整为 :

$$x'_{ndc} = \frac{2 \times (i + 0.5)}{scene.width}$$
$$y'_{ndc} = \frac{2 \times (j + 0.5)}{scene.height}$$

- NDC 的 `xy` 坐标的范围为 `[-1, 1]`, 因此上述坐标还需要继续进行转换

$$x_{ndc} = \frac{2 \times i}{scene.width} - 1$$
$$y_{ndc} = \frac{2 \times j}{scene.height} - 1$$

由于 NDC 的原点为左上角, 因此, y 坐标的起始位置为左上角而不是右下角, 因此, 坐标需要调整为 :

$$x_{ndc} = \frac{2 \times (i + 0.5)}{scene.width} - 1$$
$$y_{ndc} = 1 - \frac{2 \times (j + 0.5)}{scene.height}$$

由 NDC 转换到投影平面

- 投影平面坐标系的特点
 - 保持宽高比与屏幕一致
 - z 坐标为 -1 (习惯性做法, 简化计算和保持一致性, 这同时意味着 NDC 和 投影平面的间距为1), y 坐标的范围与相机的可视范围一致(根据宽高比可计算得 x 坐标的范围)
 - 坐标原点为投影平面的中心, 且 y 坐标向下为正增长方向
- 假设 $scale = \tan(fov / 2)$

$$y_{proj} = y_{ndc} * scale * 1$$

$$x_{proj} = y_{proj} * imageAspectRatio = y_{ndc} * scale * imageAspectRatio$$

primary ray 的方向向量为：

$$dir = normalize(x_{proj}, y_{proj}, -1)$$

概念说明

光栅化与射线追踪的区别

光栅化的流程：

1. 从世界坐标到标准设备坐标 (NDC):
 - 光栅化过程会先将三维模型的顶点从世界坐标系经过**投影变换**（例如透视投影矩阵），转化到标准设备坐标系（NDC，范围是 $[-1, 1]$ ）。
2. 从标准设备坐标到屏幕坐标：
 - 将 NDC 映射到屏幕坐标（像素空间），这一步通常是简单的线性缩放。
3. 光栅化生成像素：
 - 在屏幕坐标中，光栅化将几何形状划分为像素，生成像素的深度、颜色等信息。

射线追踪的流程：

1. 射线追踪并不直接进行从世界坐标到 NDC 的变换。
2. 相反，它是从屏幕空间（像素空间）出发，生成每个像素的射线，并通过这些射线追踪场景中的物体。

这种区别是因为两者的核心目标不同：

- 光栅化需要快速将三维几何投影到二维平面。
- 射线追踪需要通过屏幕像素生成光线，去计算它与三维物体的交点。

术语解释

屏幕坐标

- **定义：**
 - 通常指屏幕上的像素坐标 (i, j) ，范围是 $[0, \text{width}-1]$ 和 $[0, \text{height}-1]$ 。
 - 这是实际屏幕或图像帧缓存的分辨率空间中像素的离散索引。
 - **在光栅化中的地位：**
 - 屏幕坐标在光栅化中是最终的结果，它是从三维空间投影得到的二维空间坐标。
 - **在光线追踪中的地位：**
 - 在光线追踪中，屏幕坐标是**光线生成的起点**。我们需要根据这些像素位置计算出每条射线的方向，因此屏幕坐标是生成射线的输入。
-

投影平面坐标

- **定义：**
 - 指的是屏幕像素在虚拟的投影平面（通常位于 $z = -1$ ）上的对应位置。这是一个连续的二维坐标空间，通常以**标准化设备坐标 (NDC)**为基础，并根据视场角 (FOV) 和宽高比 (aspect ratio) 进行缩放。
 - **在光栅化中的地位：**
 - 投影平面坐标隐含在投影变换矩阵的结果中，通常在标准设备坐标 (NDC) 中直接使用。
 - **在光线追踪中的地位：**
 - 光线追踪中，投影平面坐标是生成射线的中间结果，用于确定每条射线的方向向量。它通过从屏幕坐标映射到 NDC，再转化到投影平面上的点来生成。
-

光线追踪中的标准术语

在光线追踪的技术文档或教材中，相关的标准术语包括：

1. 标准设备坐标 (Normalized Device Coordinates, NDC):

- 标准化到 $[-1, 1]$ 范围的二维坐标，是一个比较常用的术语。

2. 射线方向 (Ray Direction):

- 从摄像机起点指向场景中像素对应的投影平面点的向量，通常使用“direction”描述。

3. 相机空间 (Camera Space) 或 视图空间 (View Space):

- 表示从摄像机出发的坐标系。

"屏幕坐标"和"投影平面坐标"的非正式性

1. 屏幕坐标:

- 并不严格特指像素空间，有时也可泛指“图像平面”上的某个点。

2. 投影平面坐标:

- 这种描述只是为了方便理解光线追踪的生成逻辑，因为投影平面本身并不是真实存在的物理平面。

尽管如此，这两个术语在光线追踪的教程和代码实现中非常常见，特别是在解释如何从屏幕像素生成光线时，它们是直观而有效的辅助术语。

Chapter 16 - homework 7

关于半球均匀采样

假设 θ 是极角, 如果直接对 $\theta \in [0, \pi/2]$ 采样, 由于 $\sin\theta$ 相对 θ 是非线性的, 因而, 虽然 θ 是均匀的, 但是实际反应到 $\sin\theta$ 却是非均匀的

未完...